

京都大学工学部

○足立紀尚

京都大学防災研究所

八嶋厚

京都大学大学院

藤本朗

1.はじめに

岩盤の強度はその上限値が岩石(intact rock)の最大強度、下限値が岩石の残留強度に対応し、一般には内在する不連続面の特性によって、その範囲内にありること、また岩盤強度の上限値を有する岩石の最大強度は一定拘束圧下において時間とともに減少するが、他方一定拘束圧下で残留強度は時間的に変化しないことを明らかにした。<sup>1,2)</sup>しかししながら、土木構造物の建設のけほり、地震の発震機構とか地すべりなど地球物理や防災の分野からも不連続面の力学特性に関する未解明の点も少なくなく、不連続面の摩擦強度、すなわち残留強度についてもより詳細に検討する必要がある。本研究は気乾状態にある大谷石を試料に、あらかじめ切削面を有する供試体を用いて三軸圧縮試験と一面せん断試験を行ない、拘束圧、せん断変位速さ及び同一の不連続面を繰り返してせん断することによるせん断強度特性に影響を及ぼすかを検討したものである。その結果、平均値としての残留強度はせん断変位速さと同一面を繰り返してせん断する回数の影響を受けるのが、拘束圧が大きくなる程、変位速さが小さい程、また同一面を繰り返してせん断する回数が増加する程、stick-slipが顕著になるとが明らかとなつた。このstick-slip現象は地震の発震機構、それに間欠的に生ずる地すべり機構と類似のもとであろうと推定される。さらに、気乾状態の大谷石の残留強度は光い手立てべき床版型の破壊規準で表わしえることも明らかである。

2. 実験方法

試料は含水比約6%の気乾状態にある大谷石である。三軸圧縮試験は直径5cm、高さ10cmで主応力面上種々の角度を成す切削面を有する供試体を用い、側圧と変位速さをパラメーターとして実施した。他方、一面せん断試験は直径5cm、高さ1cmのものを2個重ねて供試体とし、直応力 $\sigma_3$ を0.5~10kgf/cm<sup>2</sup>、変位速さを0.02~2.0mm/minと変化させて行なった。また、同一面を繰り返してせん断する試験はせん断が終了する毎に元の状態に戻してセットし直し、せん断を繰り返すが、一面せん断試験の場合には一回に与えた最大変位量を1.7mmとした。

3. 実験結果

拘束圧の影響 Fig.1は切削面角60°、Fig.2は切削面角66°の供試体を用いた三軸試験結果と切削面上のせん断応力と変位関係として示したものである。これらよりFig.3から求まる知見は、

- ① 側圧 $\sigma_3$ が増大する程、残留強度は増大する。
- ② 側圧 $\sigma_3$ が増大する程、stick-slipが顕著になる。

せん断変位速さの影響 Fig.3は切削面角60°の供試体を用い、側圧 $\sigma_3 = 3\text{ kgf/cm}^2$ のもとで、変位速さを0.12、1.2及び8.6mm/minと変化させて行なった三軸試験の結

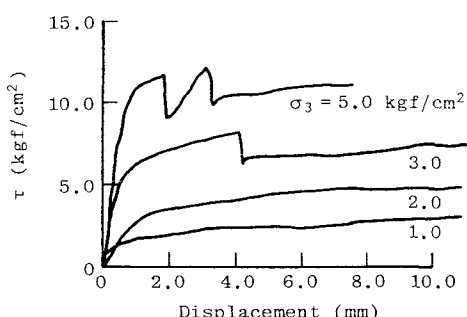


Fig.1. せん断応力-変位関係(三軸試験)

切削面角60°、変位速さ1.2mm/min

果せん切面上のせん断応力と変位の関係を示したものである。  
この図から得られる知見は

- ①、平均値として残留強度は変位速さの影響を受けてい。
- ②、変位速さが低い場合( $0.12 \text{ mm/min}$ )、stick-slip が顕著である。

同一面を繰り返しせん断する回数の影響。Fig. 4 は直応力  $\sigma_n = 5 \text{ kgf/cm}^2$  で一面せん断試験において 10 回の繰り返しせん断を行った結果求めたせん断応力と変位関係を示す。1 回、2 回及び第 10 回の繰り返し回数に対するそれぞれの

手立ちもである。図より得られる知見は

- ① 平均的残留強度は 1 回よりも 2 回以上大きい。
- ② 繰り返し回数の増加とともに stick-slip は顕著である。

#### 残留強度に対する破壊規準

残留強度を主に示している Fig. 5 により乾燥状態の大谷石の残留強度に対する破壊規準もべき関数型で予えられることが明らかである。

#### 結論

拘束圧が大きいほど、変位速さが小さいほど、繰り返しせん断回数が多いほど(面が滑るほど) stick-slip が顕著となる。

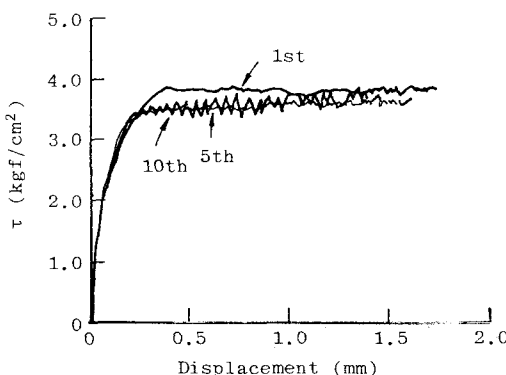


Fig. 4. せん断応力-変位関係(一面せん断試験)  
 $\sigma_n = 5.2 \text{ kgf/cm}^2$ .

参考文献 1). 足立、小川、土木学会論文報告集、No. 295, 1980, pp. 51~83. 2). Adachi, T. & Takase, A., Proc. Symp. on Weak Rocks, Tokyo, 1981, Vol. 1, pp. 94~104.

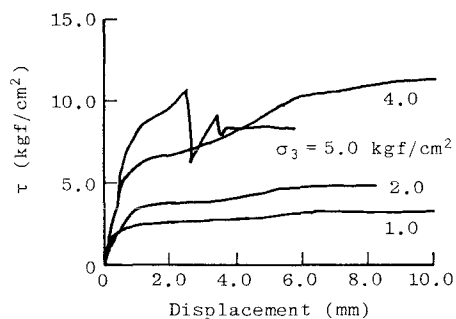


Fig. 2. せん断応力-変位関係(三軸試験)  
切削面角  $60^\circ$ , 変位速さ  $1.2 \text{ mm/min}$

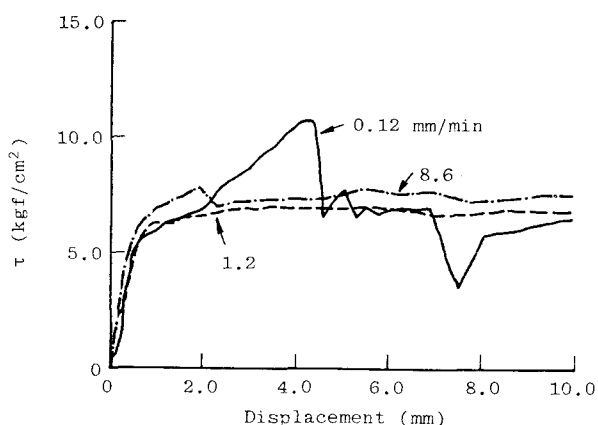


Fig. 3. せん断応力-変位関係(三軸試験)  
切削面角  $60^\circ$ , (変位速さの影響),  $\sigma_3 = 3 \text{ kgf/cm}^2$

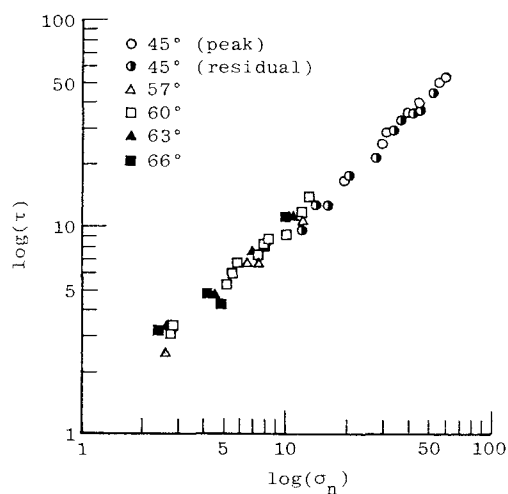


Fig. 5. 直応力-せん断応力関係(三軸試験)